



I ENCONTRO DE
PÓS-GRADUANDOS
EM MATEMÁTICA
NA UFSC



UNIVERSIDADE FEDERAL
DE SANTA CATARINA

TEOREMA DE GAUSS—BONNET:

Uma abordagem moderna

Monica Maria Funk Drechsler¹

Orientador: Francisco Carlos Caramello Junior²

Universidade Federal de Santa Catarina, SC, Brasil

monica.drechsler@grad.ufsc.br¹, francisco.caramello@ufsc.br²

Palavras-Chave: Teorema de Gauss—Bonnet; Geometria Diferencial; Topologia.

Introdução e Objetivos

O Teorema de Gauss—Bonnet é um dos mais célebres resultados na geometria diferencial clássica das curvas e superfícies. Além disso, sua generalização moderna para variedades de dimensão maior, devida a Chern, também é tratada com o mesmo apreço.

Ao estabelecer que a integral da curvatura Gaussiana de uma superfície se iguala à característica de Euler da mesma multiplicada pela constante circular, estamos relacionando dois invariantes diferentes: uma propriedade geométrica local e uma característica topológica global, o que torna o resultado, no mínimo, contraintuitivo e, por tal motivo, surpreendente.

O nosso principal objetivo neste trabalho é demonstrar o Teorema de Gauss—Bonnet usando ferramentas e conteúdos modernos. Desse modo ainda iremos utilizar conteúdos multidisciplinares e fornecer um material que pode vir a servir como introdução a alunos da graduação.

Fundamentação Teórica

A metodologia de desenvolvimento se trata da usual em matemática, envolvendo consulta à bibliografia especializada de forma a compilar uma série de conceitos e resultados necessários a fim de obter por fim a demonstração do teorema almejado e uma compreensão maior dos objetos de estudo.

Desenvolvimento

De maneira formal, uma superfície se trata do conjunto $S \subset \mathbb{R}^3$ onde, para cada $p \in S$, existe um $U \subset \mathbb{R}^2$ e uma vizinhança aberta V de p em S e uma função diferenciável $X: U \rightarrow \mathbb{R}^3$ de forma que:

- $X(U) = V$;
- $X: U \rightarrow V$ é um homeomorfismo;
- $(dX)_q: \mathbb{R}^2 \rightarrow \mathbb{R}^3$ é injetiva para todo $q \in U$

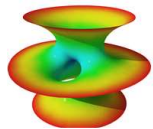


Figura 1: Superfície Costa.
Fonte: Wikipedia., 2012.

Cada função X chamamos de parametrização. A união das imagens forma a nossa superfície. Podemos pensar tal função como um mapa que nos guia se estivéssemos andando em nossa superfície, sendo, a

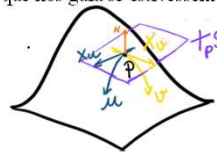


Figura 2: Superfície, vetor velocidade, plano tangente a superfície e vetor normal. Fonte: Autora., 2022.

Cada função X chamamos de parametrização. A união das imagens forma a nossa superfície. Podemos pensar tal função como um mapa que nos guia se estivéssemos andando em nossa superfície, sendo, a derivada da curva percorrida, a nossa velocidade percorrendo aquele caminho. Mais ainda, tendo a união das derivadas no ponto $p \in S$ construímos o $T_p S$, plano tangente a superfície que passando por tal ponto. Um vetor perpendicular ao plano $T_p S$ em p é chamado vetor normal. A união destes vetores normais forma um campo que, no caso de superfícies conectadas, define uma orientação.

A aplicação Gaussiana $N(p)$ irá tomar um vetor deste campo normal, normalizá-lo e jogá-lo na esfera de raio 1. A diferencial desta aplicação dN_p é auto-adjunta, e portanto, tem dois autovalores reais. O produto deles se trata da curvatura Gaussiana $K(p)$, ou ainda, $K(p) = \det(dN_p)$.

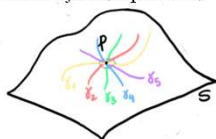


Figura 3: Curvas ao redor do ponto. Fonte: Autora., 2022.



Figura 4: Exemplo de superfície compacta. Fonte: Wikipedia., 2012.

$$K(p) = \max(\kappa_n(p)) \cdot \min(\kappa_n(p))$$

Do outro lado, a característica de Euler $\chi(S)$ pode ser obtida usando uma triangulação da superfície e então contando o número de vértices, arestas e faces, tendo $\chi(S) = V - A + F$. Vale pontuar que tal número é invariante por homeomorfismos.

Uma outra forma de se calcular tal número utiliza princípios da topologia algébrica. Para tal, utilizamos a noção de n -simplexos, a figura mais simples com n lados. Para exemplificar, um 0 -simplexo seria um ponto, um 1 -simplexo um segmento de reta, e assim por diante. Estes simplexos são organizados e listados, de modo que exista uma orientação nestes objetos.

Existe um operador bordo que associa a cada n -simplexo uma soma de $(n-1)$ -simplexos que compõem seu bordo, criando uma sequência exata. Podemos então tomar os grupos de homologia desta sequência de tal modo que



Figura 5: Decomposição do Toro em simplexos. Autora, 2022.

$$\chi(S) = \sum_{i=1}^2 (-1)^i \dim H_i(S).$$

Unindo todas estas noções, temos o Teorema de Gauss—Bonnet em sua forma local: seja $\sigma: \Delta^2 \rightarrow S$ um simplexo suave não degenerado e ε_i , com $i = \{1, 2, 3\}$ seus ângulos externos, então

$$\sum_{i=1}^k \varepsilon_i + \int_{\gamma} \kappa_n dt + \int_{\gamma} K d\sigma = 2\pi.$$

Resultados principais

Para a demonstração do teorema em sua versão local utilizamos o teorema do índice de rotação (*Umlaufsatz*). Ele nos afirma que o índice de rotação de um polígono curvo positivamente orientado é $+1$. Então, pelo teorema fundamental do cálculo,

$$\begin{aligned} 2\pi &= \theta_a - \theta_b = \sum_{i=1}^k \varepsilon_i + \sum_{i=1}^k \int_{t_{i-1}}^{t_i} \theta'(t) dt \\ &= \sum_{i=1}^k \varepsilon_i + \sum_{i=1}^k \int_{t_{i-1}}^{t_i} \kappa_n(t) dt + \sum_{i=1}^k \int_{t_{i-1}}^{t_i} \omega(\gamma'(t)) dt \\ &= \sum_{i=1}^k \varepsilon_i + \int_{\gamma} \kappa_n dt + \int_{\gamma} K d\sigma. \end{aligned}$$

Com $\omega(v) = g(\nabla_v E_1, E_2)$

A partir da versão local se chega então no teorema geral. Para isto, triangula-se a superfície e orientando-a de modo que as arestas dos triângulos se anulem. Desta forma, ao aplicar o teorema em todos os triângulos e somá-los, sendo S uma superfície compacta, obtemos o seguinte resultado, conhecido como Teorema de Gauss—Bonnet:

$$\int_S K d\sigma = 2\pi\chi(S).$$

Conclusões

O estudo desses resultados, além de propiciarem o contato com vários conceitos básicos importantes da geometria diferencial também motiva o estudo de tópicos modernos relevantes relacionados a eles, como sua generalização para variedades de dimensão par qualquer (o Teorema de Chern-Gauss-Bonnet) e, mais geralmente, o estudo da representação de classes características via curvatura. Nesse sentido, cita-se o teorema do índice de Atiyah-Singer, que generaliza ainda mais o teorema de Chern, para índices de operadores diferenciais elípticos.

Referências

- [1] A. Hatcher, *Algebraic topology*, Cambridge University Press, 2002.
- [2] E. L. Lima, *Curso de análise*, Vol. 1, 12ª edição, IMPA, Rio de Janeiro, 2010.
- [3] J. Lee, *Introduction to Smooth Manifolds*, 2ª edição, Springer, Nova Iorque, 2013
- [4] J.R. Weeks, *The shape of space*, Marcel Dekker, Inc., 2002.
- [5] K. Ueno et al., *A Mathematical Gift, I: The Interplay Between Topology, Functions Geometry, and Algebra*, Vol. 19, American Mathematical Soc., 2003.
- [6] S. Montiel e A. Ros, *Curves and surfaces*, Vol. 69. American Mathematical Soc., 2009.